

© 2023 г. И.Б. ФУРТАТ, д-р техн. наук (cainenash@mail.ru)  
(Институт проблем машиноведения РАН, Санкт-Петербург)

## ПЛОТНОСТНЫЕ СИСТЕМЫ. АНАЛИЗ И УПРАВЛЕНИЕ<sup>1</sup>

Рассматривается класс систем, названных плотностными, для которых производная от квадратичной функции зависит от некоторой функции, названной функцией плотности. С помощью функции плотности задаются свойства пространства, которые оказывают влияние на поведение исследуемых систем. Показана роль плотностных систем в синтезе законов управления. Рассмотрено построение систем управления для объектов с известными и неизвестными параметрами. Все полученные результаты сопровождаются моделированием, иллюстрирующим теоретические выводы.

*Ключевые слова:* динамическая система, квадратичная функция, устойчивость, управление.

DOI: 10.31857/S0005231023110041, EDN: OOVXMH

### 1. Введение

В работе рассмотрен класс динамических систем в нормальной форме, правая часть которых зависит от некоторой функции, задающей свойства пространства и влияющей на поведение системы. Данную функцию будем называть функцией плотности. Все соответствующие определения будут рассмотрены в основной части статьи.

Частный класс таких систем рассматривался в [1–8]. В [1] впервые для изучения (не)устойчивости системы  $\dot{x} = f(x)$  на плоскости рассматривалась новая система  $\dot{x} = \rho(x)f(x)$  со вспомогательной функцией  $\rho(x) > 0$  для всех  $x$ . Затем вопрос (не)устойчивости таких систем изучался с использованием свойств дивергенции и потока вектора фазовой скорости в [2–8]. В [4] функция  $\rho(x)$  названа функцией плотности (от англ. «density function»), а в [5–8] показана связь полученных результатов с уравнением непрерывности [9], которое встречается в электромагнетизме, теории волн, гидродинамике, механике деформируемого твердого тела и квантовой механике.

В [10–14] предложен ряд методов управления, гарантирующих нахождения регулируемых сигналов в заданных разработчиком множествах. Для выполнения данной цели с помощью соответствующего закона управления вводилась вспомогательная функция, от вида которой выполнялись соответствующие свойства в замкнутой системе. Так, в [10, 12] предложен закон

---

<sup>1</sup> Работа выполнена в ИПМаш РАН при поддержке госзадания № 121112500298-6 (ЕГИСУ НИОКТР).

управления с эффектом воронки (от англ. «funnel control»), а в [11] – закон управления с заданным качеством регулирования (от англ. «prescribed performance control»), которые гарантируют нахождение переходных процессов в сходящейся к окрестности нуля трубке. В [13, 14] предложен метод, обобщающий результаты [10–12] и позволяющий гарантировать нахождение выходных переменных в заданной разработчиком трубке, которая может быть несимметрична относительно положения равновесия и не сходится к заданной константе.

В данной работе будет рассмотрен класс систем, которые явно или неявно зависят от функции плотности. С помощью данной функции будет задаваться плотность пространства в смысле выделения областей (не)устойчивости, запретных областей (где отсутствуют решения системы) и от значения функции плотности будет зависеть поведение исследуемой системы. В отличие:

- 1) от [1–8] будут рассмотрены системы, где функция плотности не обязательно умножается на всю ее правую часть;
- 2) от [10–14] функция плотности может присутствовать неявно в правой части системы;
- 3) от [10–14] функция плотности может гарантировать нахождение решений системы в неограниченном множестве с запретными областями и границы данных множеств могут быть заданы непрерывными (при некоторых предположениях и разрывными) функциями по всем аргументам.

Статья организована следующим образом. В разделе 2 даны мотивирующие примеры, определения функции плотности и плотностной системы. Показаны некоторые свойства данных систем. В разделе 3 иллюстрируется применение полученных результатов к синтезу законов управления для объектов с известными и неизвестными параметрами. Здесь же приведены результаты моделирования полученных схем управления с подтверждением теоретических выводов.

В работе используются следующие *обозначения*:  $\mathbb{R}^n$  – евклидово пространство размерности  $n$  с нормой  $|\cdot|$ ;  $\mathbb{R}_+$  ( $\mathbb{R}_-$ ) – множество положительных (отрицательных) вещественных чисел;  $p = d/dt$  – оператор дифференцирования;  $\lambda$  – комплексная переменная.

## 2. Мотивирующие примеры. Определения

Перед введением основных определений рассмотрим два примера.

*Пример 1.* Хорошо известно, что решения системы

$$(1) \quad \dot{x} = -x$$

асимптотически сходятся к нулю, где  $x \in \mathbb{R}$ . Умножим правую часть данной системы на непрерывную по  $t$  и локально липшицевую по  $x$  функцию  $\rho(x, t) : \mathbb{R} \times [0, +\infty) \rightarrow \mathbb{R}$  и перепишем (1) в виде

$$(2) \quad \dot{x} = -\rho(x, t)x.$$

Очевидно, что от свойств  $\rho(x, t)$  зависит поведение системы (2). С помощью функции  $\rho(x, t)$  можно задавать некоторые свойства и ограничения в пространстве  $(x, t)$ . Таким образом можно влиять на качество переходных процессов исходной системы (1) и качественно менять их. В связи с этим  $\rho(x, t)$  назовем *функцией плотности*. Рассмотрим несколько примеров задания данной функции и соответствующее поведение новой системы (2).

1. Функция плотности  $\rho(x, t) = \alpha > 0$  позволяет сохранить единственное положение равновесия  $x = 0$ , принимает одно и то же положительное значение для любых  $x$  и  $t$  и тем самым качественно не влияет на экспоненциальную устойчивость траекторий исходной системы (1) (см. рис. 1 слева) за исключением скорости сходимости решения (2) к положению равновесия в зависимости от значения  $\alpha$ . Действительно, выбрав функцию Ляпунова в виде  $V = 0,5x^2$ , получим  $\dot{V} = -\alpha x^2 < 0$  в области  $D_S = \mathbb{R} \setminus \{0\}$ .

2. Рассмотрим функцию плотности  $\rho(x, t) = \frac{\alpha}{w(t)-|x(t)|}$  с непрерывной функцией  $w(t) > 0$ . Функция  $\rho(x, t)$  принимает положительные значения в области  $D_S = \{x \in \mathbb{R} : -w < x < w\}$ , а при  $|x - w| \rightarrow 0$  в  $D_S$  имеем  $\rho(x, t) \rightarrow +\infty$ . Данные свойства гарантирует равномерную асимптотическую устойчивость точки равновесия  $x = 0$  с начальными условиями  $x(0) \in (-w(0); w(0))$ . При этом траектории системы никогда не покидают данную область (см. рис. 1 справа). Выбрав квадратичную функцию  $V = 0,5x^2$ , получим  $\dot{V} = -\frac{\alpha}{w-|x|}x^2 < 0$  в области  $x \in D_S \setminus \{0\}$ , что подтверждает сделанные выводы.

3. Рассмотрим функцию плотности  $\rho(x, t) = \alpha[x(t) - w(t)]\text{arctg}(x/\epsilon)$  с непрерывной функцией  $w(t)$  и достаточно большим положительным числом  $\epsilon$ . Функция  $\rho(x, t)$  принимает положительные значения в области  $D_S = \{x \in \mathbb{R} : x \in (-\infty; 0) \cup (w; +\infty) \text{ при } w > 0 \text{ и } x \in (-\infty; w) \cup (0; +\infty) \text{ при } w < 0\}$  и отрицательные в области  $D_U = \{x \in \mathbb{R} : x \in (0; w) \text{ при } w > 0 \text{ и } x \in (w; 0) \text{ при } w < 0\}$ , что гарантирует слежение  $x(t)$  за  $w(t)$  (см. рис. 2 слева). Выбрав квадратичную функцию  $V = 0,5x^2$ , получим  $\dot{V} = \alpha[x - w]\text{arctg}(x/\epsilon)x^2 < 0$  при  $x \in D_S$  и  $\dot{V} > 0$  при  $x \in D_U$ .

4. Рассмотрим функцию плотности  $\rho(x, t) = -\alpha \ln \frac{\bar{w}(t)-x(t)}{x(t)-\underline{w}(t)}$  с непрерывными функциями  $\bar{w}(t) > \underline{w}(t) > 0$ . Обозначим:  $w = 0,5[\bar{w} + \underline{w}]$ , где  $\rho(x, t) = 0$  при  $x = w$  и любых  $t$ . Функция  $\rho(x, t)$  принимает положительные значения в области  $D_S = \{x \in \mathbb{R} : w < x < \bar{w}\}$  и отрицательные в области  $D_U = \{x \in \mathbb{R} : \underline{w} < x < w\}$ , что гарантирует слежение  $x(t)$  за траекторией  $w(t)$ . В заштрихованной области система (2) не имеет решений (см. рис. 2 справа). При этом траектории системы никогда не покидают область  $D_S \cup D_U$ , так как  $|\rho(x, t)| \rightarrow +\infty$  при приближении  $x$  к границам  $\underline{w}$  и  $\bar{w}$ . Выбрав квадратичную функцию  $V = 0,5x^2$ , получим  $\dot{V} = \alpha \ln \frac{\bar{w}-x}{x-\underline{w}}x^2 < 0$  при  $x \in D_S$  и  $\dot{V} > 0$  при  $x \in D_U$ , что подтверждает слежение  $x(t)$  за траекторией  $w(t)$ .

5. Теперь рассмотрим  $\rho(x, t) = \alpha \ln(x(t) - g(t))$  с непрерывной функцией  $g(t) > 0$ . Обозначим:  $w = 1 + g$ , где  $\rho(x, t) = 0$  при  $x = w$  и любых  $t$ . Функция  $\rho(x, t)$  принимает положительные значения в области  $D_S = \{x \in \mathbb{R}_+ :$

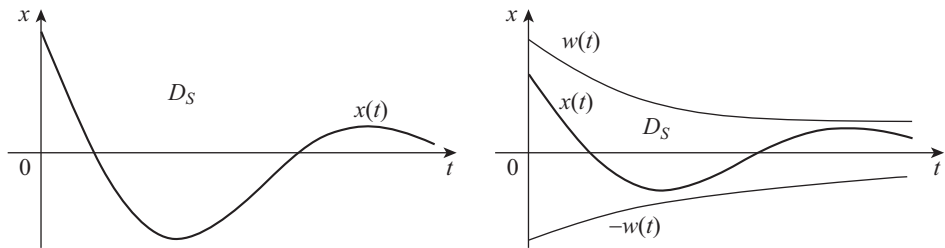


Рис. 1. Переходные процессы в системе (2) с функцией плотности  $\rho(x, t) = \alpha$  (слева) и  $\rho(x, t) = \frac{\alpha}{w(t) - |x(t)|}$  (справа).

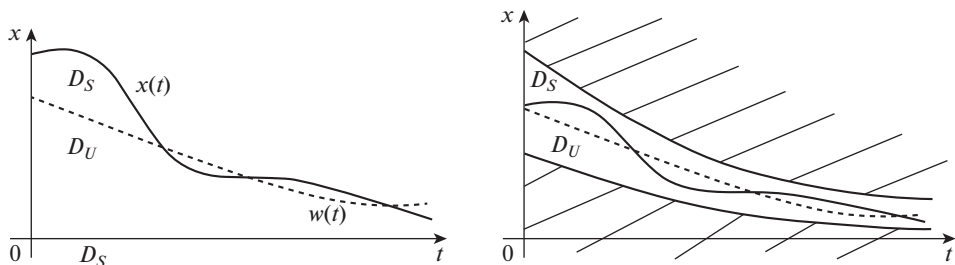


Рис. 2. Переходные процессы в системе (2) с функцией плотности  $\rho(x, t) = \alpha[x(t) - w(t)] \operatorname{arctg}(x/\epsilon)$  (слева) и  $\rho(x, t) = \alpha \ln \frac{\bar{w}(t) - x(t)}{x(t) - \underline{w}(t)}$  (справа).

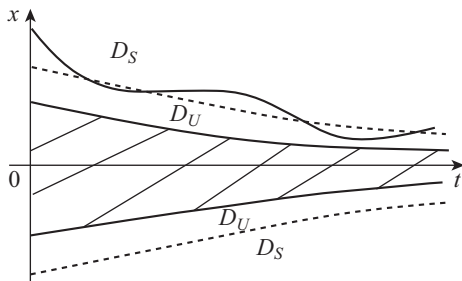


Рис. 3. Переходной процесс в системе (2) с функцией плотности  $\rho(x, t) = \alpha \ln(x(t) - g(t))$ .

:  $w < x < +\infty$  } и отрицательные значения в области  $D_U = \{x \in \mathbb{R}_+ : g < x < w\}$ , что гарантирует слежение  $x(t)$  за траекторией  $w(t)$  (см. рис. 3). При этом траектории системы никогда не входят в заштрихованную область, так как при приближении к границе  $g(t)$  имеем  $\rho(x, t) \rightarrow -\infty$ , что обеспечивает движение  $x(t)$  вдоль поверхности (см. рис. 3). Выбрав квадратичную функцию  $V = 0,5x^2$ , получим  $\dot{V} = -\alpha \ln(x - g)x^2 < 0$  при  $x \in D_S$  и  $\dot{V} > 0$  при  $x \in D_U$ .

*Замечание 1.* Здесь рассмотрим вопрос о возможности исследования динамических систем с разрывной правой частью по  $t$  и  $x$ , в том числе и функции плотности  $\rho(x, t)$ .

Рассмотрим для начала неавтономную систему общего вида  $\dot{x} = f(x, t)$  с  $x \in \mathbb{R}^n$ . Пусть функция  $f(x, t)$  определена в некоторой открытой области  $D$

переменных  $(x, t)$ . Будем говорить, что она удовлетворяет условию Каратеодори [15], если  $f(x, t)$  непрерывна по  $x$  для почти всех  $t$ , кусочно-непрерывна по  $t$  для всех  $x$  (достаточно предполагать измеримость по  $t$ ), а также для любого компактного множества  $G \subset D$  найдется неотрицательная интегрируемая функция  $m(t)$  такая, что  $|f(x, t)| \leq m(t)$  для всех  $(x, t) \in G$ .

Если функция  $f(x, t)$  удовлетворяет условию Каратеодори, то по теоремам 1.1.1 и 1.1.4 из [15] для любых начальных данных из области  $D$  существует локально абсолютно непрерывное решение  $x(t)$  системы  $\dot{x} = f(x, t)$ . Уравнение  $\dot{x}(t) = f(x(t), t)$  выполнено для почти всех  $t$ . Производная  $x(t)$  может не существовать для тех  $t$ , в которых функция  $f(x, t)$  терпит разрыв по  $t$ . Кроме того, либо решение  $x(t)$  определено на  $[0, +\infty)$ , либо при некотором конечном  $t_0$  решение  $x(t)$  стремится к границе области  $D$  при  $t \rightarrow t_0$ . Если функция  $f(x, t)$  локально липшицева по  $x$ , то по теореме 1.1.2 из [15] решение будет единственным.

Теперь рассмотрим систему (2) из примера 1. Если функция  $\rho(x, t)$  удовлетворяет условию Каратеодори, то у этой системы существует локально абсолютно непрерывное решение, а если функция  $\rho(x, t)$  вдобавок локально Липшицева по  $x$ , то такое решение будет единственным.

Рассмотрим случай 2 примера 1. В качестве области  $D$  определим множество всех тех  $(x, t)$ , которые не принадлежат замыканиям графиков функции  $w(t)$  и  $-w(t)$ . Если, например,  $w(t) = 2$  при  $t \in [0, 1]$  и  $w(t) = 1$  при  $t > 1$ , то из области  $D$  нужно исключить не только график  $w(t)$ , но и точку  $(1, 1)$ . Функция  $\rho(x, t)$  удовлетворяет условию Каратеодори и является локально липшицевой по  $x$ . Поэтому у уравнения  $\dot{x} = -\rho(x, t)x$  существует единственное локально абсолютно непрерывное решение, которое либо определено на всей оси, либо при некотором конечном  $t_0$  расстояние от  $(x(t), t)$  до границы  $D$  будет стремиться к нулю при  $t \rightarrow t_0$ .

Рассмотрим функцию Ляпунова  $V(x) = 0,5x^2$ . Берем решение  $x(t)$  и рассматриваем функцию  $V(x(t))$ , которая является локально абсолютно непрерывной. По теореме о дифференцируемости сложной функции для почти всех  $t$  будет выполнено  $\dot{V} = -\rho(x(t), t)x(t)^2 \leq 0$ . В силу абсолютной непрерывности для любого  $t$  будет выполнено  $V(t) - V(0) = \int_0^t \dot{V}(s) ds \leq 0$  (доказательство того, что абсолютно непрерывная функция «восстанавливается» через интеграл по своей производной см. в [16]). Из неравенства  $V(t) \leq V(0)$  следует, что положение равновесия устойчиво. Его асимптотическую устойчивость можно доказать с помощью теоремы ЛаСалля для неавтономных систем (теорема 1 в [17]) в случае, если множество  $\{x : |x| < w(t)\}$  содержит трубку постоянной ненулевой ширины и функция  $w(t)$  не является неограниченно возрастающей. Если же  $w(t) \rightarrow 0$  при  $t \rightarrow \infty$ , то асимптотическая устойчивость следует просто из того факта, что решение остается в области  $D_S$ .

Здесь, однако, требуется оговорка, связанная с кусочной непрерывностью  $w(t)$ . Может так случиться, что решения из области  $D_S$  будут выходить из этой области. Например, пусть  $w(t) = 2$  при  $t \in [0, t_0]$  и  $w(t) = 1$  при

$t > t_0$ . Если  $t_0$  – достаточно малая величина, а начальное условие  $x(0)$  близко к 2 или  $-2$ , то при  $t \rightarrow t_0$  траектория  $x(t)$  просто «врезается в стенку», образованную скачком функции  $w(t)$ . Теорема существования гарантирует, что это решение продолжимо дальше, но анализ устойчивости в данном случае уже неприменим. Такое решение «выпрыгнет» из области  $D_S$  и начнет неограниченно возрастать.

Если функция  $w(t)$  непрерывна, то нетрудно показать, что решения с начальными условиями из  $D_S$  не выходят из области  $D_S$ . Однако для кусочно-непрерывной функции  $w(t)$  это, вообще говоря, неверно. Если у функции  $w(t)$  много скачков, то может оказаться так, что некоторые решения, начинающиеся в  $D_S$ , выпрыгивают из этой области, когда «врезаются в стенки», образованные скачками функции  $w(t)$ . Если же решение остается в области  $D_S$ , то оно будет стремиться к положению равновесия.

При рассмотрении дифференциальных уравнений с разрывной правой частью по  $x$  (здесь же можно и по  $t$  [18, 19]) необходимо понимать решения таких систем в смысле Филиппова [15]. Тогда в случае 2 примера 1 можно рассматривать функцию  $\rho(x, t) = \alpha[x(t) - w(t)]\text{sign}(x)$ , где  $\text{sign}(\cdot)$  – знаковая функция. Устойчивость разрывных неавтономных систем подробно изучалась, например, в [18–21].

Таким образом, в настоящей статье можно рассматривать динамические системы с разрывной правой частью, в том числе и разрывные функции  $\rho(x, t)$ . Однако такие системы усложняют анализ, что связано с обоснованием выбора начальных условий, частоты и величины скачков функции и т.д. Поскольку статья посвящена исследованию поведения динамических систем в зависимости от свойств функции плотности, то, ради простоты, все теоретические результаты будут сформулированы для динамических систем с непрерывной правой частью по  $t$  и локально-липишицевой по  $x$ . Все же в качестве иллюстрации некоторые примеры могут содержать разрывные правые части.

Итак, в примере 1 показано, как функция плотности  $\rho(x, t)$ , заданная в пространстве  $(x, t)$ , может качественно влиять на переходные процессы исходной системы (1). В следующем примере покажем, что функция плотности не обязательно должна умножаться на всю правую часть, как в примере 1 (см. (1) и (2)), а может явно или неявно присутствовать в правой части системы.

*Пример 2.* Исследуем систему

$$(3) \quad \begin{aligned} \dot{x}_1 &= x_2 - \rho_1(x, t)x_1, \\ \dot{x}_2 &= -x_1 - \rho_2(x, t)x_2, \end{aligned}$$

где  $\rho_1(x, t)$  и  $\rho_2(x, t)$  – непрерывные функции по  $t$  и  $x$  на  $\mathbb{R}^2 \times [0, +\infty)$ . Рассмотрим квадратичную функцию

$$(4) \quad V = 0,5(x_1^2 + x_2^2).$$

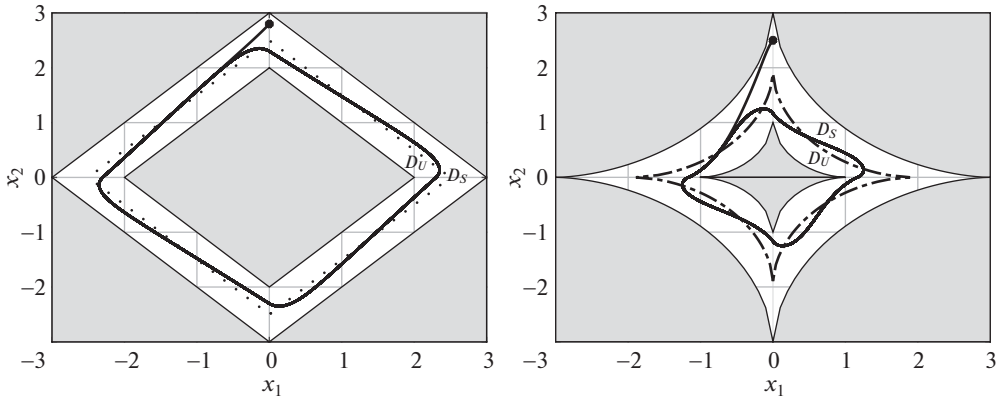


Рис. 4. Фазовая траектория системы (3) с функциями плотности  $\rho(x, t) = \ln \frac{3-|x_1|-|x_2|}{|x_1|+|x_2|-2}$  (слева) и  $\rho(x, t) = \ln \frac{3^{0,6}-|x_1|^{0,6}-|x_2|^{0,6}}{|x_1|^{0,6}+|x_2|^{0,6}-1}$  (справа).

Возьмем от нее полную производную по времени вдоль решений (3). В результате получим

$$(5) \quad \dot{V} = -\rho_1 x_1^2 - \rho_2 x_2^2.$$

1. Пусть  $\rho_1 = \rho_2 = \rho = \ln \frac{\bar{g}-|x_1|^\beta-|x_2|^\beta}{|x_1|^\beta+|x_2|^\beta-\underline{g}}$ , где  $\beta > 0$  (при  $0 < \beta < 1$  см. замечание 1) и  $\bar{g}(t) > \underline{g}(t) > 0$  – непрерывные функции. Имеем  $\rho = 0$  при  $|x_1|^\beta + |x_2|^\beta = \underline{g}$ , где  $\underline{g} = 0,5(\bar{g} + \underline{g})$ . Тогда  $\dot{V} < 0$ , где  $\rho(x, t) > 0$ , т.е. в области  $D_S = \{x \in \mathbb{R}^2 : \underline{g} < |x_1|^\beta + |x_2|^\beta < \bar{g}\}$ , а также  $\dot{V} > 0$ , где  $\rho(x, t) < 0$ , т.е. в области  $D_U = \{x \in \mathbb{R}^2 : \bar{g} < |x_1|^\beta + |x_2|^\beta < \underline{g}\}$ . В данном случае функция плотности  $\rho(x, t)$  в явном виде присутствует в системе (3), но не умножается на всю правую часть, как в примере 1. На рис. 4 приведены результаты моделирования для  $\beta = 1$ ,  $\bar{g} = 3$ ,  $\underline{g} = 2$  (слева) и  $\beta = 0,6$ ,  $\bar{g} = 3^{0,6}$ ,  $\underline{g} = 1$  (справа) при  $x(0) = \text{col}\{0, 2, 5\}$ .

Здесь и далее:

- серые области на рисунках означают, что функция плотности выбрана так, что в данных областях нет решений системы (на границе данной области значение плотности возрастает до бесконечности);
- точечная кривая соответствует нулевому значению функции плотности и, соответственно, данная кривая является границей разделения устойчивой  $D_S$  и неустойчивой  $D_U$  областей.

2. Пусть  $\rho_1 = 1 - x_1^2$  и  $\rho_2 = -x_1^2$ . Тогда  $\dot{V} = -\rho(x, t)x_1^2 < 0$ , где  $\rho(x, t) = x_1^2 + x_2^2 - 1 > 0$  в области  $D_S = \{x \in \mathbb{R}^2 : x_1^2 + x_2^2 > 1 \text{ и } x_1 \neq 0\}$ , а также  $\dot{V} > 0$ , где  $\rho(x, t) < 0$  в области  $D_U = \{x \in \mathbb{R}^2 : x_1^2 + x_2^2 < 1 \text{ и } x_1 \neq 0\}$ . В данном случае функция плотности  $\rho(x, t)$  присутствует неявно в (3) в отличие от предыдущего случая. Однако в отличие от предыдущего случая, значение функции плотности не оказывает влияние на систему (3) всюду (т.е.  $\dot{V} = 0$  при  $x_1 = 0$  независимо от значения  $\rho$ ). На рис. 5 приведены результаты моделирования при  $x(0) = \text{col}\{2, 1\}$ .

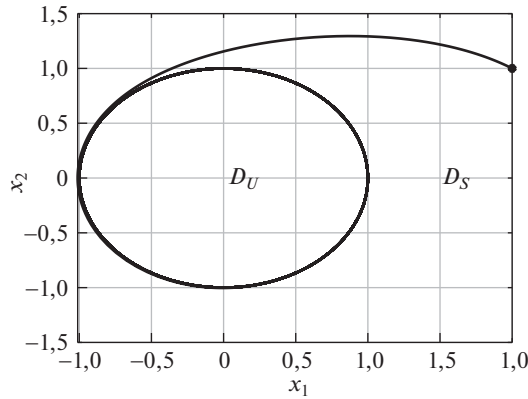


Рис. 5. Фазовая траектория системы (3) с функцией плотности  $\rho(x, t) = x_1^2 + x_2^2 - 1$ .

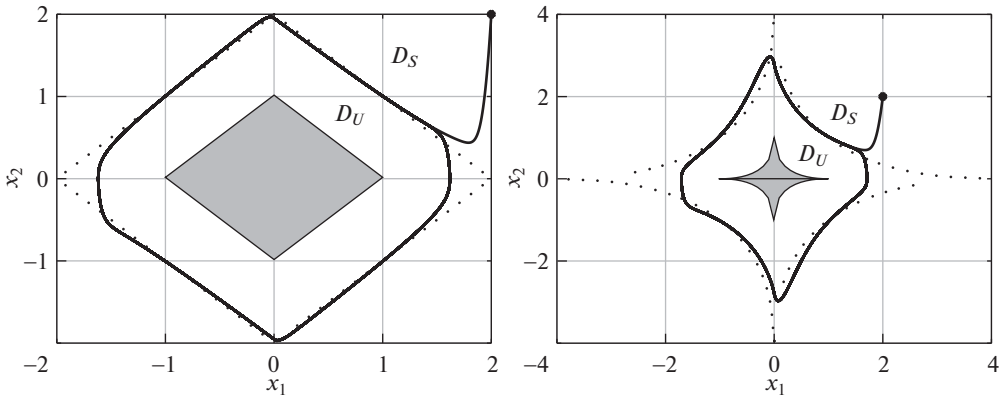


Рис. 6. Фазовая траектория системы (3) с функциями плотности  $\rho(x, t) = 20 \ln(|x_1| + |x_2| - 1)$  (слева) и  $\rho(x, t) = 20 \ln(|x_1|^{0.5} + |x_2|^{0.5} - 1)$  (справа).

3. Пусть  $\rho_1 = \alpha \ln(|x_1|^\beta + |x_2|^\beta - 1)$ ,  $\alpha > 0$ ,  $\beta > 0$  (при  $0 < \beta < 1$  см. замечание 1) и  $\rho_2 = 0$ . Тогда  $\dot{V} = -\rho(x, t)x_1^2 < 0$ , где  $\rho(x, t) = \alpha \ln(|x_1|^\beta + |x_2|^\beta - 1) > 0$  в области  $D_S = \{x \in \mathbb{R}^2 : |x_1|^\beta + |x_2|^\beta > 2 \text{ и } x_1 \neq 0\}$ , а также  $\dot{V} > 0$ , где  $\rho(x, t) < 0$  в области  $D_U = \{x \in \mathbb{R}^2 : 1 < |x_1|^\beta + |x_2|^\beta < 2 \text{ и } x_1 \neq 0\}$ . В данном случае функция плотности  $\rho(x, t)$  присутствует всего лишь в одном из уравнений (3) в отличие от случаев 1 и 2. Однако, как и в случае 2, функция плотности не оказывает влияние на систему (3) всюду. На рис. 6 приведены результаты моделирования для  $\beta = 1$  (слева) и  $\beta = 0,5$  (справа) при  $\alpha = 20$  и  $x(0) = \text{col}\{2, 2\}$ .

Теперь рассмотрим динамическую систему вида

$$(6) \quad \dot{x} = f(x, t),$$

где  $t \geq 0$ ,  $x \in D \subset \mathbb{R}^n$  – вектор состояния, функция  $f : D \times [0, +\infty) \rightarrow \mathbb{R}^n$  – непрерывная по  $t$  и локально липшицева по  $x$  на  $D \times [0, +\infty)$ . Относительно возможности рассмотрения систем (6) с разрывной правой частью см. замечание 1.



*Определение 1.* Система (6) называется плотностной с функцией плотности  $\rho(x, t) : D \times [0, +\infty) \rightarrow \mathbb{R}$ , если существует непрерывно-дифференцируемая функция  $V(x, t) : D \times [0, +\infty) \rightarrow \mathbb{R}$  такая, что

$$(a) \quad w_1(x) \leq V(x, t) \leq w_2(x),$$

$$(б) \quad \dot{V} \leq \rho(x, t)W_1(x) \leq 0 \text{ или } \dot{V} \geq \rho(x, t)W_2(x) \geq 0$$

для любых  $t \geq 0$  и  $x \in D$ . Здесь  $\rho(x, t)$  – непрерывная по  $t$  и локально-липшицева по  $x$  функция,  $w_1(x)$  и  $w_2(x)$  – положительно определенные функции,  $W_1(x)$  и  $W_2(x)$  – ненулевые (за исключением в положениях равновесия) непрерывные функции в  $D$ .

*Определение 2.* Если в определении 1 функции  $W_1(x)$  и  $W_2(x)$  непрерывные в  $D$ , то система (6) называется слабо плотностной.

*Определение 3.* Если в условии (б) определения 1 выполнено  $\dot{V} \leq \rho(x, t)W_1(x) < 0$  или  $\dot{V} \geq \rho(x, t)W_2(x) > 0$ , то систему (6) будем называть строго плотностной.

*Определение 4.* Если  $\dot{V} \leq \rho(x, t)W_1(x) \leq 0$  в области  $D_S \times [0, +\infty)$ , то функцию плотности  $\rho(x, t)$  и область  $D_S$  будем называть устойчивыми. Если  $\dot{V} \geq \rho(x, t)W_2(x) > 0$  в области  $D_U \times [0, +\infty)$ , то функцию плотности  $\rho(x, t)$  и область  $D_U$  будем называть неустойчивыми.

*Утверждение 1.* Пусть в областях  $D_S$  и  $D_U$  система (6) строго плотностная. Если для каждого  $t$  выполнено условие  $V(x_s, t) - V(x_u, t) > 0$ , где  $x_s \in D_S$  и  $x_u \in D_U$ , то траектории системы притягиваются к границе разделения областей  $D_S$  и  $D_U$ . Если для системы (6) для каждого  $t$  выполнено условие  $V(x_s, t) - V(x_u, t) < 0$ , то траектории системы отдаляются от границы разделения областей  $D_S$  и  $D_U$ .

*Доказательство.* Пусть выполнено условие  $V(x_s, t) - V(x_u, t) > 0$  для каждого  $t \geq 0$ , где  $x_s \in D_S$  и  $x_u \in D_U$ . Так как система строго плотностная, то согласно определению 3 в области  $D_S$  выполнено  $\dot{V} \leq \rho(x, t)W_1(x) < 0$ , а в области  $D_U$  выполнено  $\dot{V} \geq \rho(x, t)W_2(x) > 0$ . Значит, граница разделения областей  $D_S$  и  $D_U$  является множеством, к которому притягиваются траектории системы.

Пусть выполнено  $V(x_s, t) - V(x_u, t) < 0$  для каждого  $t \geq 0$ , где  $x_s \in D_S$  и  $x_u \in D_U$ . Согласно определению 3 в области  $D_S$  выполнено  $\dot{V} \leq \rho(x, t)W_1(x) < 0$ , а в области  $D_U$  выполнено  $\dot{V} \geq -\rho(x, t)W_2(x) > 0$ . Значит, граница разделения областей  $D_S$  и  $D_U$  является множеством, которое покидают траектории системы.

*Замечание 2.* Отметим, что в утверждении 1 и в его доказательстве под притяжением траекторий к некоторому множеству могут рассматриваться случаи приближения траекторий к данному множеству с течением времени или нахождения траекторий в некоторой окрестности данного множества. Причем размер данной окрестности может оставаться постоянным или увеличиваться с течением времени. Это зависит от значения плотности пространства. Приведем несколько предельных случаев:

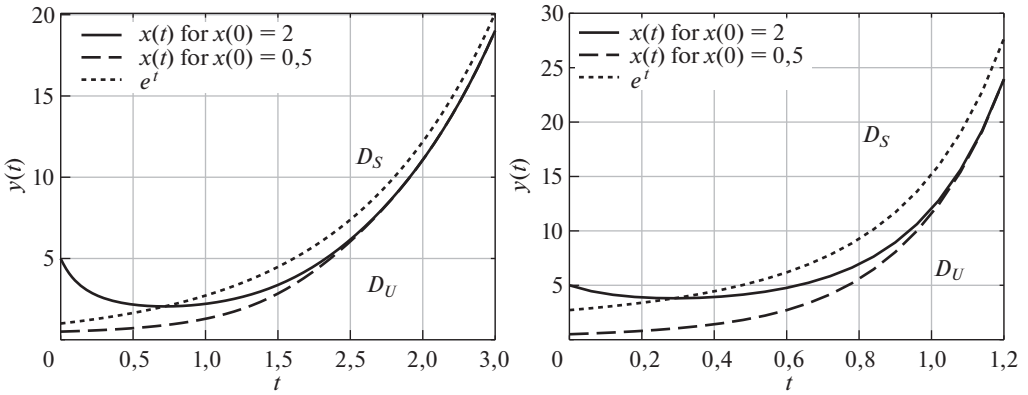


Рис. 7. Слежение  $x(t)$  за неограниченными сигналами  $w(t) = e^t$  (слева) и  $w(t) = e^{e^t}$  (справа).

- если в окрестности границы разделения областей  $D_S$  и  $D_U$  значение функции плотности убывает до нуля, то траектории системы не будут приближаться к данной границе. Поэтому они могут находиться как в окрестности данной границы, так и отдаляться от нее;
- если в окрестности границы разделения областей  $D_S$  и  $D_U$  значение функции плотности неограниченно возрастает, то траектории системы будут приближаться к данной границе.

Для иллюстрации сказанного в утверждении 1 и замечании 2 рассмотрим следующий пример.

*Пример 3.* Рассмотрим снова систему (2), где только  $x \in \mathbb{R}_+$ .

Выберем квадратичную функцию  $V = 0,5x^2$ . Тогда  $\dot{V} = -\rho(x, t)x^2$ . Значит,  $\dot{V} < 0$  в области  $D_S = \{x, t \in \mathbb{R}_+ : \rho(x, t) > 0\}$  и  $\dot{V} > 0$  в области  $D_U = \{x, t \in \mathbb{R}_+ : \rho(x, t) < 0\}$ .

Согласно определению 3 система (2) строго плотностная при  $x \in \mathbb{R}_+$ . Проанализируем утверждение 1. Зафиксируем произвольное  $t = t_1$ . Тогда  $V(x_s(t_1)) - V(x_u(t_1)) > 0$ . Очевидно, что данная разность будет справедлива для любых фиксированных  $t$ . Значит, согласно утверждению 1 траектории системы будут притягиваться к границе разделения  $D_S$  и  $D_U$ .

Пусть функция плотности задана в виде  $\rho(x, t) = x - w$ ,  $w(t) = e^t$ . В этом случае  $\lim_{t \rightarrow \infty} (w(t) - x(t)) = \text{const}$  (см. рис. 7 слева). Если  $w(t) = e^{e^t}$ , то разница между  $w(t)$  и  $x(t)$  увеличивается с течением времени (см. рис. 7 справа). Это связано с тем, что  $w(t)$  – неограниченная функция, а плотность  $|\rho(x, t)|$  уменьшается при приближении  $x$  к  $w$ . В результате  $x(t)$  «пытается приблизиться» к  $w(t)$ , но не может из-за низкой плотности пространства в окрестности  $w(t)$  и большой скорости изменения  $w(t)$ .

Пусть функция плотности задана в виде  $\rho = w \arctg \frac{x-w}{\epsilon}$  (или  $\rho = w \text{sign}(x - w)$  с учетом замечания 1),  $\epsilon > 0$  – достаточно большое число,  $w(t) = e^t$  или  $w(t) = e^{e^t}$ . В этом случае плотность пространства в окрестно-

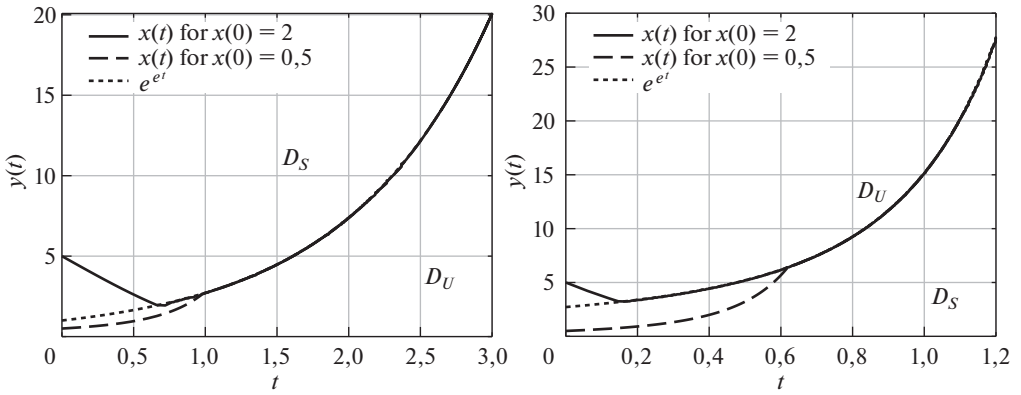


Рис. 8. Слежение  $x(t)$  за неограниченными сигналами  $w(t) = e^t$  (слева) и  $w(t) = e^{e^t}$  (справа).

сти  $w(t)$  увеличивается с увеличением  $w(t)$ , что гарантирует приближение  $x$  к  $w$  при  $t \rightarrow \infty$  (см. рис. 8).

Также при изучении плотностных систем будем выделять особые области. Они уже рассматривались ранее в качестве серых областей на рисунках. Теперь определим их.

*Определение 5.* Если  $\dot{V} \leq \rho(x, t)W_1(x) < 0$  в окрестности области  $D_{bh} \times [0, +\infty)$ , в данной области отсутствуют решения (6) и при приближении к данной области значение функции плотности возрастает до бесконечности, то область  $D_{bh}$  будем называть абсолютно устойчивой.

*Определение 6.* Если  $\dot{V} \geq \rho(x, t)W_2(x) > 0$  в окрестности области  $D_{wh} \times [0, +\infty)$ , в данной области отсутствуют решения (6) и при приближении к данной области значение функции плотности возрастает до бесконечности, то область  $D_{wh}$  будем называть абсолютно неустойчивой.

*Пример 4.* Рассмотрим систему (3), где  $\rho_1(x, t) = \rho_2(x, t) = \rho(x)$ . Выберем квадратичную функцию (4). Тогда  $\dot{V} = -\rho(x)(x_1^2 + x_2^2)$ .

Если  $\rho(x) = e^{(x_1^2 + x_2^2 - 1)^{-0.98}}$ , то все траектории стремятся к области  $D_{bh} = \{x \in \mathbb{R}^2 : x_1^2 + x_2^2 \leq 1\}$  (см. рис. 9 слева). То есть из любых начальных условий траектории системы будут притянуты к  $D_{bh}$ , где значение функции плотности возрастает до бесконечности при приближении к границе данной области. Если  $\rho(x) = -\ln(x_1^2 + x_2^2 - 1)$ , то траектории с начальными условиями из области  $x_1^2 + x_2^2 \geq \sqrt{2}$  остаются в данной области, но все траектории с начальными условиями из области  $1 \leq x_1^2 + x_2^2 \leq \sqrt{2}$  не могут покинуть данной области и будут притянуты к области  $D_{bh} = \{x \in \mathbb{R}^2 : x_1^2 + x_2^2 \leq 1\}$  (см. рис. 9 справа), где функция плотности возрастает до бесконечности при приближении к границе  $D_{bh}$ .

Если  $\rho(x) = -e^{(x_1^2 + x_2^2 - 1)^{-0.98}}$ , то все траектории стремятся от области  $D_{wh} = \{x \in \mathbb{R}^2 : x_1^2 + x_2^2 \leq 1\}$  (см. рис. 10 слева) и никогда не смогут приблизиться к границе данной области, где функция плотности возрастет до

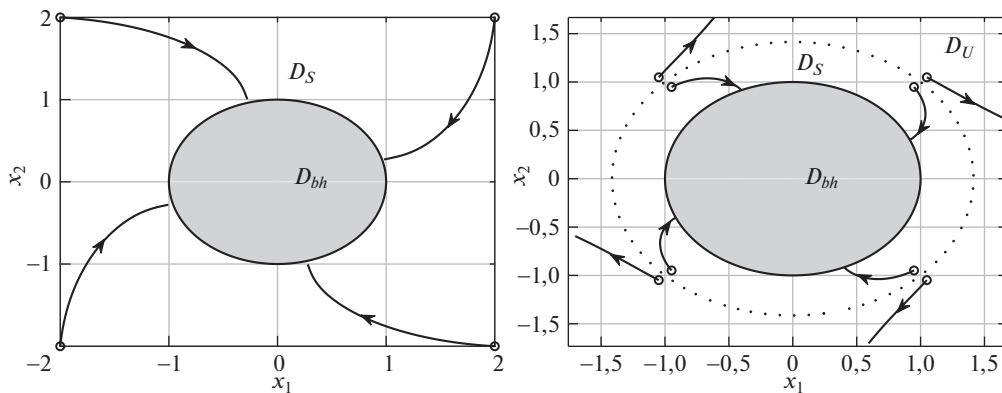


Рис. 9. Фазовый портрет системы (3) с плотностью  $\rho(x) = e^{(x_1^2+x_2^2-1)^{-0,98}}$  (слева) и с плотностью  $\rho(x) = -\ln(x_1^2 + x_2^2 - 1)$  (справа).

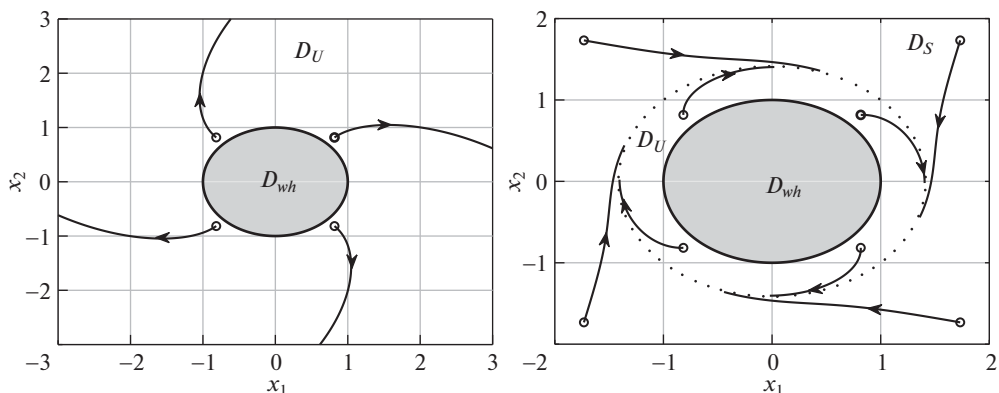


Рис. 10. Фазовый портрет системы (3) с плотностью  $\rho(x) = -e^{(x_1^2+x_2^2-1)^{-0,98}}$  (слева) и с плотностью  $\rho(x) = \ln(x_1^2 + x_2^2 - 1)$  (справа).

минус бесконечности при приближении к границе  $D_{wh}$ . Если  $\rho(x) = \ln(x_1^2 + x_2^2 - 1)$ , то траектории с начальными условиями из области  $x_1^2 + x_2^2 \geq \sqrt{2}$  остаются в данной области, но все траектории с начальными условиями из области  $1 \leq x_1^2 + x_2^2 \leq \sqrt{2}$  стремятся от области  $D_{wh} = \{x \in \mathbb{R}^2 : x_1^2 + x_2^2 \leq 1\}$  (см. рис. 10 справа).

*Замечание 3.* Поясним физический смысл рассматриваемых систем. Если функция плотности явно присутствует в правой части уравнения системы, например, в виде  $\dot{x} = \rho(x, t)f(x, t)$ , то значение плотности пространства напрямую влияет на скорость фазового потока. Так, если  $\rho(x, t) = 1$ , то имеем исходную систему вида  $\dot{x} = f(x, t)$ . Если  $\rho(x, t) > 0$ , то присутствие функции плотности может качественно не влиять на положения равновесия, но может оказывать влияние на фазовый портрет. При  $0 < \rho(x, t) < 1$  значение вектора фазовой скорости уменьшается из-за того, что уменьшается плотность пространства. При  $\rho(x, t) > 1$ , наоборот, значение вектора фазо-

вой скорости увеличивается из-за увеличения плотности пространства. При изменении знака функции плотности качественно меняется фазовый портрет.

Условие (б) определения 1 можно интерпретировать как скорость изменения фазового объема, задаваемого с помощью функции  $V(x, t)$ , с учетом плотности пространства.

Приведем модели реальных процессов:

- уравнение маятника  $\dot{x}_1 = x_2, \dot{x}_2 = -\frac{g}{l} \sin x_1 - \frac{k}{m} x_2$ , где  $x_1$  – угол отклонения маятника от вертикальной оси,  $x_2$  – угловая скорость маятника,  $g$  – ускорение свободного падения,  $l$  – длина маятника,  $k$  – коэффициент трения [22]. Выбрав функцию Ляпунова в виде полной энергии системы  $V = \frac{g}{l}(1 - \cos x_1) + 0,5x_2^2$ , получим  $\dot{V} = -\frac{k}{m}x_2^2$ . Если положить функцию плотности  $\rho(x, t) = k$ , то при отсутствии трения ( $\rho(x, t) = 0$ ) имеем незатухающие колебания, а при наличии трения ( $\rho(x, t) \neq 0$ ) – затухающие;
- в [25] виды моделей размножения можно записать как  $\dot{x} = \rho(x)x$ , где  $x$  – величина биологической популяции. При  $\rho(x) = k > 0$  имеем модель нормального размножения, при  $\rho(x) = kx$  – модель взрыва, при  $\rho(x) = 1 - x$  – модель логистической кривой;
- абсолютно устойчивые и абсолютно неустойчивые области из определений 5 и 6 можно встретить в качестве простейших моделей черных и белых дыр соответственно [26], обладающих большой плотностью и гравитацией. Поэтому плотностные системы также можно рассматривать в качестве *гравитационных систем*, где  $\rho(x, t)$  – *функция гравитации*. Это означает, что на поведение систем может влиять не плотность пространства, а гравитационное поле, создаваемое плотным телом. В связи с этим принципы построения управления с использованием функции плотности в следующих разделах можно рассматривать как управление с использованием функции гравитации. Независимо от названия функции  $\rho(x, t)$  и соответствующих систем все математические описания и выводы сохраняются.

*Замечание 4.* Во введении отмечалось, что предложенные в разделе 2 понятия функции плотности, плотностных систем и их свойства обобщают результаты [1–8, 10–14]. Разберем это более подробно.

- В [1–8] для исследования устойчивости системы  $\dot{x} = f(x)$  рассматривается новая система  $\dot{x} = \rho(x)f(x)$ , которая затем исследуется либо с помощью дивергентных методов, либо с помощью метода функций Ляпунова. В настоящем разделе для анализа систем  $\dot{x} = f(x)$  используются зависимости  $\dot{V} \leq \rho(x, t)W_1(x)$  или  $\dot{V} \geq \rho(x, t)W_1(x)$  (см. определение 1 и пример 2), что не требует умножения функции плотности на всю правую часть исследуемой системы.
- В [10–14] изучается устойчивость систем вида  $\dot{x} = f(x, \rho(x, t))$ , где функция плотности в явном виде присутствует в правой части. Предложенные в настоящей статье результаты допускают неявное присутствие функции плотности в правой части системы (см. случай 2 в примере 2).

- В [10–14] специальным выбором функции плотности можно гарантировать нахождение решений системы только в ограниченном множестве без запретных областей. При этом границы данных множеств задаются непрерывно дифференцируемыми функциями по  $t$  и  $x$ . В настоящей статье допускается рассмотрение неограниченных множеств (см. случай 5 в примере 1 и случай 3 в примере 2) с запретными областями (см. случаи 4 и 5 в примере 1, случаи 1 и 3 в примере 2). Причем границы данных множеств могут быть заданы непрерывными функциями по  $t$  и локально-липищевыми по  $x$ . Если рассматривать решения исследуемых систем в смысле Филиппова, то допускается исследование систем с разрывной правой частью, см. замечание 1.

Таким образом, предложенные новые понятия функции плотности и плотностной системы позволяют по-новому взглянуть на некоторый класс динамических систем, который шире, чем в [1–8, 10–14]. Также эволюцию динамических систем теперь можно рассматривать и влиять на нее с учетом плотности пространства.

Полученные в данном разделе результаты могут быть использованы не только для анализа динамических систем, но и для синтеза законов управления. Этому будет посвящен следующий раздел.

### 3. Плотностное управление

Рассмотрим несколько примеров синтеза законов управления с целью получения замкнутых систем, которые описываются плотностными системами.

#### 3.1. Объекты с известными параметрами

Рассмотрим объект управления

$$(7) \quad Q(p)y(t) = R(p)u(t),$$

где  $y \in \mathbb{R}$  – выходной сигнал,  $u \in \mathbb{R}$  – сигнал управления,  $Q(p)$  и  $R(p)$  – линейные дифференциальные операторы с постоянными известными коэффициентами,  $R(\lambda)$  – гурвицевый полином.

Если относительная степень объекта (7) равна 1 (т.е.  $\deg Q(p) - \deg R(p) = 1$ ), то закон управления

$$(8) \quad u(t) = -\frac{Q(p)}{pR(p)}\rho(y, t)y(t)$$

приводит систему (7) к виду

$$(9) \quad \dot{y}(t) = -\rho(y, t)y(t),$$

которая имеет структуру плотностной системы. В частности, примеры задания функции плотности  $\rho(y, t)$  были рассмотрены в примере 1.

Если относительная степень объекта (7) больше 1 (т.е.  $\deg Q(p) - \deg R(p) = \gamma > 1$ ), то перепишем закон управления (8) в виде

$$(10) \quad u(t) = -\frac{Q(p)}{pR(p)(\mu p + 1)^{\gamma-1}}\rho(y, t)y(t)$$

где  $\mu > 0$  – достаточно малое число. В результате получим замкнутую систему вида

$$(11) \quad \dot{y}(t) = -\frac{1}{(\mu p + 1)^{\gamma-1}}\rho(y, t)y(t).$$

При  $\mu = 0$  система (11) имеет структуру плотностной системы (9). Если функция плотности  $\rho(y, t)$  выбрана так, что решения плотностной системы (9) асимптотически устойчивы, то согласно [22, 24] существует достаточно малое  $\bar{\mu} > 0$  такое, что при  $0 < \mu < \bar{\mu}$  решения системы (11) достаточно близки к решению системы (9).

### 3.2. Объекты с неизвестными параметрами

Рассмотрим объект управления (7) с неизвестными параметрами операторов  $Q(p)$  и  $R(p)$ , но известным значением  $k$ . Пусть относительная степень объекта равна 1. Все полученные результаты могут быть распространены на объекты с относительной степенью больше 1, например, с использованием схем [23]. В настоящей статье рассмотрим только объекты с относительной степенью 1, дабы избежать громоздких выводов по преодолению проблемы высокой относительной степени.

Перепишем операторы  $Q(p)$  и  $R(p)$  как  $Q(p) = Q_m(p) + \Delta Q(p)$  и  $R(p) = R_m(p) + \Delta R(p)$ , где  $Q_m(\lambda)$  и  $R_m(\lambda)$  – произвольные гурвицевы многочлены порядков  $n$  и  $n - 1$  соответственно, порядки  $\Delta Q(p)$  и  $\Delta R(p)$  соответственно равны  $n - 1$  и  $n - 2$ . Выбрав  $Q_m(\lambda)/R_m(\lambda) = \lambda + a$ ,  $a > 0$  – известное число, и выделив целую часть в  $\frac{\Delta Q(\lambda)}{Q_m(\lambda)} = k_{0y} + \frac{\Delta \tilde{Q}(\lambda)}{R_m(\lambda)}$ , перепишем (7) в виде

$$(12) \quad \dot{y}(t) = -ay(t) + k \left( u(t) + \frac{\Delta R(p)}{R_m(p)}u - \frac{\Delta \tilde{Q}(p)}{R_m(p)}y - k_{0y}y \right).$$

Введем  $c_0 = \text{col}\{c_{0y}, c_{0u}, k_{0y}\}$  – вектор неизвестных параметров, где  $\Delta \tilde{Q}(p) = c_{0y}^T [1 \ p \ \dots \ p^{n-2}]$  и  $\Delta R(p) = c_{0u}^T [1 \ p \ \dots \ p^{n-2}]$ . Также рассмотрим вектор регрессии  $w = \text{col}\{V_y, V_u, y\}$ , составленный с помощью следующих фильтров:

$$(13) \quad \begin{aligned} \dot{V}_y &= FV_y + by, \\ \dot{V}_u &= FV_u + bu. \end{aligned}$$

Здесь  $F$  – матрица в форме Фробениуса с характеристическим многочленом  $R_m(\lambda)$ ,  $b = \text{col}\{0, \dots, 0, 1\}$ .

Тогда с учетом введенных обозначений уравнение (12) можно переписать в виде

$$(14) \quad \dot{y}(t) = -ay(t) + k[u(t) - c_0^T w(t)].$$

Зададим закон управления

$$(15) \quad u(t) = c^T(t)w(t) + \frac{a}{k}y(t) + \rho(y, t).$$

Подставив (15) в (14), получим уравнение замкнутой системы

$$(16) \quad \dot{y}(t) = \rho(y, t) + k(c(t) - c_0)^T w(t).$$

*Теорема 1. Закон управления (15) вместе с алгоритмом адаптации*

$$(17) \quad \dot{c} = -\alpha y w$$

*приводит объект (7) к системе плотностного вида. Если при  $t \rightarrow \infty$  имеем устойчивую плотность  $\rho(y, t)$  с предельным устойчивым множеством в окрестности нуля, то все сигналы в замкнутой системе будут ограниченными.*

*Доказательство.* Выберем квадратичную функцию

$$(18) \quad V = \frac{1}{2}y^2 + \frac{k}{2\alpha}(c(t) - c_0)^T(c(t) - c_0).$$

Найдем полную производную по времени от (18) вдоль решений (16), (17) и результат запишем в виде

$$(19) \quad \dot{V} = \rho(y, t)y.$$

В итоге получили плотностную систему.

Если при  $t \rightarrow \infty$  имеем устойчивую плотность  $\rho(y, t)$  с предельным устойчивым множеством в окрестности нуля, то  $\rho(y, t)$  выбрана так, что  $\rho(y, t)y < 0$ . Значит,  $\lim_{t \rightarrow \infty} y(t) = 0$ . Тогда из (16) следует, что  $\lim_{t \rightarrow \infty} (c(t) - c_0)^T(t)w(t) = 0$ . Предельная ограниченность  $V_y(t)$  следует из первого уравнения (13), предельной ограниченности  $y(t)$  и гурвицевости матрицы  $F$ . Поставив (15) во второе уравнение (13), получим

$$\begin{aligned} \dot{V}_u &= FV_u + bc_0^T w + b(c - c_0)^T w + b\frac{a}{k}y(t) + b\rho(y, t) = \\ &= (F + bc_{0u})V_u + b \left[ c_{0y}^T V_y + k_{0y}y + b(c - c_0)^T w + \frac{a}{k}y(t) + \rho(y, t) \right]. \end{aligned}$$

Матрица  $F + bc_{0u}$  имеет гурвицевый характеристический многочлен  $R(\lambda)$  из постановки задачи. Значит, при ограниченных слагаемых в квадратных скобках функция  $V_u(t)$  предельно ограниченная. Тогда вектор регрессии  $w(t)$  также предельно ограниченный. Из условия  $\lim_{t \rightarrow \infty} y(t) = 0$ , предельной ограниченности  $w(t)$  и (17) следует, что  $\lim_{t \rightarrow \infty} \dot{c}(t) = 0$ . Следовательно,  $c(t)$  предельно ограниченная функция. Тогда из (15) следует ограниченность закона управления. В результате все сигналы ограничены в замкнутой системе.



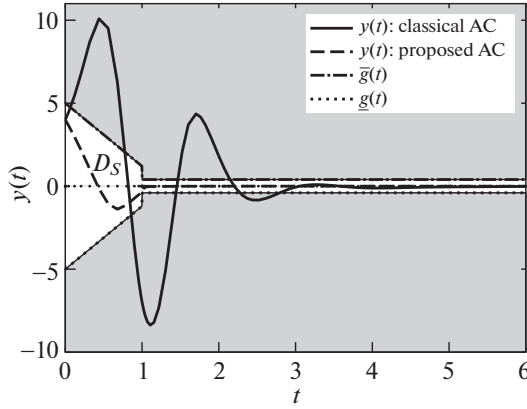


Рис. 11. Переходные процессы в адаптивной системе управления с функциями плотности  $\rho(y, t) = -\alpha y$  [23] (кривая, пересекающая серую область) и  $\rho(y, t) = \alpha \ln \frac{g-y}{g+y}$  (кривая, находящиеся внутри трубки с штриховыми границами).

*Пример 5.* Рассмотрим объект управления (7) с неизвестными параметрами операторов  $Q(p) = (p - 1)^3$  и  $R(p) = (p + 1)^2$ , известным  $k = 1$  и неизвестными начальными условиями  $p^2 y(0) = 1$ ,  $py(0) = 1$ ,  $y(0) = 4$ .

Определим  $F = \begin{bmatrix} 0 & 1 \\ -1 & -2 \end{bmatrix}$  в фильтрах (13). В алгоритме адаптации (17) зададим  $\alpha = 0,1$ . В законе управления (15) выберем  $a = 1$ .

Рассмотрим различные виды функции плотности  $\rho(y, t)$  в (15).

1. При  $\rho(y, t) = -\alpha y$  замкнутая система (16) имеет точку равновесия  $y = 0$ . Подставив  $\rho(y, t)$  в (19), имеем  $\dot{V} = -\alpha y^2 \leq 0$  в области  $D_S = \mathbb{R}$ . Получили задачу адаптивной стабилизации, которая подробно описана в [23]. На рис. 11 (см. только траекторию, входящую в серую область) приведен переходной процесс при  $\alpha = 1$  и  $p^2 y(0) = py(0) = 0$ ,  $y(0) = 4$ .

2. При  $\rho(y, t) = \alpha \ln \frac{g-y}{g+y}$ ,  $g(t) > 0$  замкнутая система (16) имеет положение равновесия  $y = 0$ . Подставив  $\rho(y, t)$  в (19), имеем  $\dot{V} = \alpha \ln \frac{g-y}{g+y} y < 0$  в области  $D_S = \{y \in \mathbb{R} : -g < y < g\}$ . Причем  $\rho(y, t) \rightarrow -\infty$  при  $y \rightarrow g$  и  $\rho(y, t) \rightarrow +\infty$  при  $y \rightarrow -g$ . Получили задачу стабилизации с симметричными ограничениями  $-g$  и  $g$ . На рис. 11 приведены результаты переходных процессов при  $\alpha = 1$  (траектория внутри пунктирной трубки),  $p^2 y(0) = py(0) = 0$ ,  $y(0) = 4$  и  $g(t) = \begin{cases} -4,6t + 5, & t \leq 1, \\ 0,4, & t > 1. \end{cases}$  Видно, что в отличие от классической схемы адаптивного управления [23] (траектория, соответствующая  $\rho(y, t) = -\alpha y$ ) задание функции плотности вида  $\rho(y, t) = \alpha \ln \frac{g-y}{g+y}$  гарантирует нахождение переходного процесса в трубке в любой момент времени.

3. Рассмотрим  $\rho(y, t) = \alpha \ln \frac{\bar{g}-y}{y-\underline{g}}$ , где  $\bar{g}(t) > \underline{g}(t)$  для всех  $t$ . Обозначим  $y = w = \frac{\bar{g}+\underline{g}}{2}$ . Тогда  $\rho(y, t) = 0$  при  $y = w$  и любых  $t$ . Подставив  $\rho(y, t)$  в (19), имеем  $\dot{V} = \alpha \ln \frac{\bar{g}-y}{y-\underline{g}} y < 0$  в  $D_S = \{y \in \mathbb{R}_+ : w < y < \bar{g}\} \cup \{y \in \mathbb{R}_- : \underline{g} < y < w\}$  и

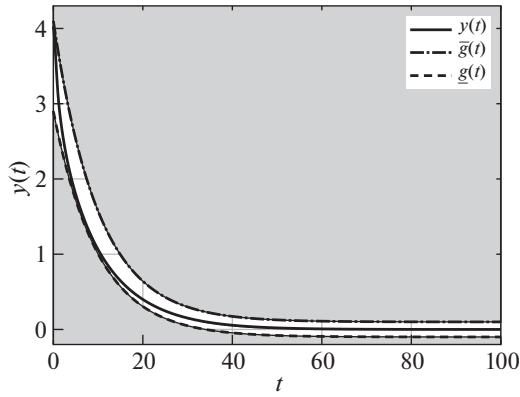


Рис. 12. Переходные процессы в адаптивной системе управления с функцией плотности  $\rho(y, t) = -\alpha \ln \frac{\bar{g}-y}{y-\underline{g}}$ .

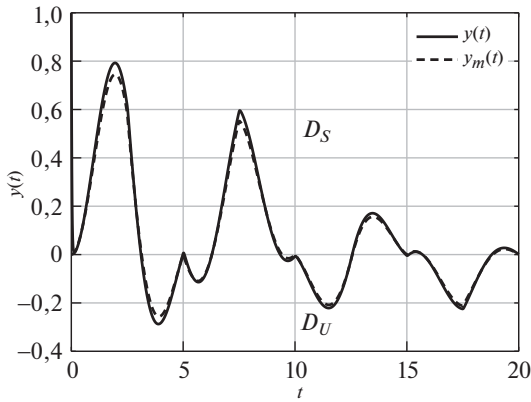


Рис. 13. Переходные процессы в адаптивной системе управления с функцией плотности  $\rho(y, t) = -\alpha(y - y_m)$ .

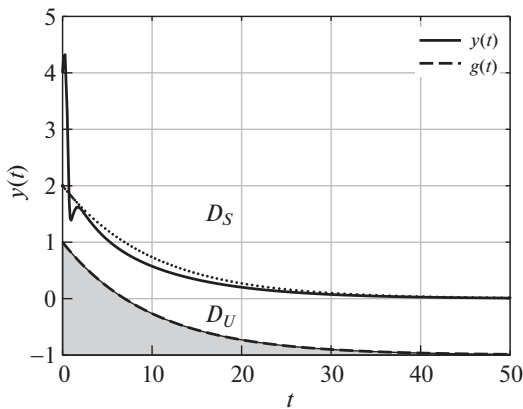


Рис. 14. Переходные процессы в адаптивной системе управления с функцией плотности  $\rho(y, t) = -\alpha \ln(y - g)$ .

$\dot{V} > 0$  в  $D_U = \{y \in \mathbb{R}_+ : \underline{g} < y < w\} \cup \{y \in \mathbb{R}_- : w < y < \bar{g}\}$ . Причем  $\rho(y, t) \rightarrow -\infty$  при  $y \rightarrow \bar{g}$  и  $\rho(y, t) \rightarrow +\infty$  при  $y \rightarrow \underline{g}$ , если  $y \in \mathbb{R}_+$ , а также  $\rho(y, t) \rightarrow +\infty$  при  $y \rightarrow \bar{g}$  и  $\rho(y, t) \rightarrow -\infty$  при  $y \rightarrow \underline{g}$ , если  $y \in \mathbb{R}_-$ . Получили задачу стабилизации с несимметричными ограничениями  $\bar{g}$  и  $\underline{g}$ . На рис. 12 приведен переходной процесс при  $\alpha = 5$ ,  $\bar{g} = 4e^{-0,1t} + 0,1$ ,  $\underline{g} = 3e^{-0,1t} - 0,1$  и  $p^2y(0) = py(0) = 0$ ,  $y(0) = 4$ .

4. Пусть  $\rho(y, t) = -\alpha(y - y_m)$ . Тогда  $\rho(y, t) = 0$  при  $y = y_m$  и любых  $t$ . Подставив  $\rho(y, t)$  в (19), имеем  $\dot{V} = -\alpha(y - y_m)y < 0$  в  $D_S = \{y \in \mathbb{R}_+ : y > y_m\} \cup \{y \in \mathbb{R}_- : y < y_m\}$  и  $\dot{V} > 0$  в  $D_U = \{y \in \mathbb{R}_+ : y < y_m\} \cup \{y \in \mathbb{R}_- : y > y_m\}$ . Получили задачу слежения  $y$  за  $y_m$ . На рис. 13 приведен переходной процесс для  $\alpha = 50$ ,  $y_m = e^{-0,1t} \sin(t)P(t)$ ,  $P(t) \in [0; 1,25]$  – генератор треугольных импульсов (с равнобедренными треугольниками) с периодом 5 с и  $p^2y(0) = py(0) = 0$ ,  $y(0) = 1$ .

5. Рассмотрим  $\rho(y, t) = -\alpha \ln(y - g)$ ,  $g(t) \geq -1$ . Тогда  $\rho(y, t) = 0$  при  $y = g + 1$  и любых  $t$ . Подставив  $\rho(y, t)$  в (19), имеем  $\dot{V} = -\alpha \ln(y - g)y < 0$  в  $D_S = \{y \in \mathbb{R}_+ : y > g + 1\}$  и  $\dot{V} > 0$  в  $D_U = \{y \in \mathbb{R}_+ : y > g + 1\}$ . Причем  $\rho(y, t) \rightarrow -\infty$  при  $y \rightarrow g$ . Получим задачу спуска  $x(t)$  вдоль поверхности с границей  $g(t)$ . На рис. 14 приведен переходной процесс при  $\alpha = 10$ ,  $g = 2e^{-0,1t} - 1$  и  $p^2y(0) = py(0) = 0$ ,  $y(0) = 4$ .

### 3.3. Сравнение полученных законов управления с некоторыми существующими

Сравним предложенные законы управления (8), (10) и (13), (15), (17) с законами управления, полученными с использованием метода барьерных функций Ляпунова (от англ. «barrier Lyapunov function») [27, 28], метода управления с эффектом воронки (от англ. «funnel control») [10, 12] и методов управления с заданным качеством регулирования (от англ. «prescribed performance control») [11, 13, 14, 29].

- По способу и виду задания целевого (допустимого) множества (под целевым (допустимым) множеством понимается область, в которой должны находиться переходные процессы выходного сигнала объекта в замкнутой системе) методы [10–14, 27–29] и предложенный результат отличаются в следующем:
  - в [27, 28] границы допустимого множества постоянные, а эталонный сигнал должен быть достаточно гладким;
  - в [10–12] границы целевого множества задаются непрерывно-дифференцируемыми функциями, симметричными относительно оси времени. Рассматриваются только ограниченные целевые множества;
  - в [13, 14, 29] границы целевого множества задаются непрерывно-дифференцируемыми, несимметричными функциями. Рассматриваются только ограниченные целевые множества;
  - в предложенном в данной статье подходе целевые множества могут задаваться непрерывными (или разрывными, см. замечание 1), несимметричными функциями (см. случай 5 в примере 5). Целевое множе-

ство может быть неограниченным (см. случаи 2, 3 и 5 в примере 5). Эталонный сигнал может задаваться непрерывными (см. случай 4 в примере 5) или кусочно-непрерывными (см. замечание 1) функциями.

- По синтезу закона управления и анализу устойчивости замкнутой системы методы [10–14, 27–29] и предложенный результат отличаются в следующем:

- методы [27, 28] используют функции Ляпунова специального вида, существующие на определенном подмножестве области определения системы (допустимом множестве);
- методы [10–12] используют функции плотности специального вида;
- подходы [11, 13, 14, 29] рассматривают нелинейное преобразование координат, которое сводит исходную задачу с ограничениями к задаче без ограничений. Однако данное преобразование координат приводит к анализу расширенной системы, содержащей переменные исходной и новой систем, что усложняет структуру закона управления и анализ устойчивости замкнутой системы. Более того, нелинейное преобразование координат приводит к изучению системы вида  $\dot{\varepsilon}(t) = \rho(\varepsilon, t)f(\varepsilon, t)$ , где  $\varepsilon$  – новая переменная,  $\rho(\varepsilon, t) > 0$  – функция плотности, зависящая от производной функции замены координат по переменной  $\varepsilon$ . Следовательно, данный вид системы является частным случаем систем, рассмотренных в разделе 2;
- предложенный в статье подход не содержит преобразования координат, что позволяет избежать рассмотрение дополнительных переменных и дополнительных динамических систем. Знак функции плотности может быть произвольным. Функция Ляпунова может существовать во всей области определения системы.

#### 4. Заключение

В работе рассмотрен класс динамических систем, названных плотностными, которые содержат в правой части функцию плотности, задающую свойства пространства. Определяя свойства данной функции можно влиять на поведение исследуемой системы. Данный вывод в дальнейшем используется для синтеза законов управления. Показано, что при различных заданиях функции плотности можно получать как классические законы управления, так и новые, позволяющие формировать новые целевые требования к системе. В частности, приведен пример построения адаптивного закона управления с гарантией переходных процессов в заданном разработчиком множестве, в то время как классическое адаптивное управление обеспечивает только предельную ограниченность траекторий. При этом параметры множества задаются с помощью функции плотности, которая задает плотность рассматриваемого пространства. Результаты моделирования подтвердили теоретические выводы.

В статье показано, как некоторые существующие алгоритмы управления могут быть модифицированы с использованием функции плотности для получения нового качества переходных процессов. В дальнейшем свойства плотностных систем можно использовать и для построения более сложных алгоритмов управления, например, управление по выходу с любой относительной степенью объекта, управление с использованием наблюдателей, управление на скользящих режимах и т.д.

#### СПИСОК ЛИТЕРАТУРЫ

1. *Красносельский М.А., Перов А.И., Поволоцкий А.И., Забрейко П.П.* Векторные поля на плоскости. М.: Физматлит, 1963.
2. *Жуков В.П.* Необходимые и достаточные условия неустойчивости нелинейных автономных динамических систем // *АиТ.* 1990. № 12. С. 59–65.  
*Zhukov V.P.* Necessary and sufficient conditions for instability of nonlinear autonomous dynamic systems // *Autom. Remote Control.* 1990. V. 51. No. 12. P. 1652–1657.
3. *Жуков В.П.* Дивергентные условия асимптотической устойчивости нелинейных динамических систем второго порядка // *АиТ.* 1999. № 7. С. 34–43.  
*Zhukov V.P.* On the divergence conditions for the asymptotic stability of second-order nonlinear dynamical systems // *Autom. Remote Control.* 1999. V. 60. No. 7. P. 934–940.
4. *Rantzer A.* A dual to Lyapunov's stability theorem // *Systems & Control Letters.* 2001. V. 42. P. 161–168.
5. *Фуртат И.Б.* Дивергентные условия устойчивости динамических систем // *АиТ.* 2020. № 2. С. 62–75.  
*Furtat I.B.* Divergent stability conditions of dynamic systems // *Autom. Remote Control.* 2020. V. 81. No. 2. P. 247–257.
6. *Furtat I.B., Gushchin P.A.* Stability study and control of nonautonomous dynamical systems based on divergence conditions // *J. Franklin Institute.* 2020. V. 357. No. 18. P. 13753–13765.
7. *Furtat I.B., Gushchin P.A.* Stability/instability study and control of autonomous dynamical systems: Divergence method // *IEEE Access.* 2021. No. 9. P. 49088–49094.
8. *Furtat I.B., Gushchin P.A.* Divergence Method for Exponential Stability Study of Autonomous Dynamical Systems // *IEEE Access.* 2022. No. 10. P. 49088–49094.
9. *Ландау Л.Д., Лифшиц Е.М.* Гидродинамика / Теоретическая физика. М.: Наука, 1986.
10. *Liberzon D., Trenn S.* The bang-bang funnel controller for uncertain nonlinear systems with arbitrary relative degree // *IEEE Trans. Autom. Control.* 2013. V. 58. No. 12. P. 3126–3141.
11. *Bechlioulis C., Rovithakis G.* A low-complexity global approximation-free control scheme with prescribed performance for unknown pure feedback systems // *Automatica.* 2014. V. 50. No. 4. P. 1217–1226.
12. *Berger T., Le H., Reis T.* Funnel control for nonlinear systems with known strict relative degree // *Automatica.* 2018. V. 87. P. 345–357.

13. *Фуртат И.Б., Гуцин П.А.* Управление динамическими объектами с гарантией нахождения регулируемого сигнала в заданном множестве // *АиТ.* 2021. № 4. С. 121–139.  
*Furtat I.B., Gushchin P.A.* Control of Dynamical Plants with a Guarantee for the Controlled Signal to Stay in a Given Set // *Autom. Remote Control.* 2021. V. 82. No. 4. P. 654–669.
14. *Furtat I.B., Gushchin P.A.* Nonlinear feedback control providing plant output in given set // *Int. J. Control.* 2021. <https://doi.org/10.1080/00207179.2020.1861336>
15. *Филиппов А.Ф.* Дифференциальные уравнения с разрывной правой частью. М.: Наука, 1985.
16. *Колмогоров А.Н., Фомин С.В.* Элементы теории функций и функционального анализа. М.: Наука, 1976.
17. *LaSalle J.P.* Stability of Nonautonomous Systems // *Nonlinear Analysis, Theory, Methods & Applications.* 1976. V. 1. No. 1. P. 83–91.
18. *Демьянов В.Ф., Рубинов А.М.* Основы негладкого анализа и квазидифференциальное исчисление. М.: Наука, 1990.
19. *Polyakov A.* Nonlinear Feedback Design for Fixed-Time Stabilization of Linear Control Systems // *IEEE Trans. Autom. Control.* 2012. Vol. 57, no. 8. P. 2106–2110.
20. *Уткин В.И.* Скользящие режимы и их применения в системах с переменной структурой. М.: Наука, 1974.
21. *Dolgopolik M.V., Fradkov A.L.* Nonsmooth and discontinuous speed-gradient algorithms // *Nonlinear Anal. Hybrid Syst.* 2017. V. 25. P. 99–113.
22. *Халил Х.К.* Нелинейные системы. М.-Ижевск: Институт компьютерных исследований, 2009.
23. *Мирошник И.В., Нижифоров В.О., Фрадков А.Л.* Нелинейное и адаптивное управление сложными динамическими системами. СПб.: Наука, 2000.
24. *Васильева А.Б., Бутузов В.Ф.* Асимптотическое разложение решений сингулярно возмущенных уравнений. М.: ФИЗМАТЛИТ, 1973.
25. *Арнольд В.И.* Обыкновенные дифференциальные уравнения. М.: МЦНМО, 2012.
26. *Carroll S.M.* Spacetime and Geometry: An Introduction to General Relativity. San Francisco, Addison Wesley, 2004.
27. *Tee K.P., Ge S.S., Tay E.H.* Barrier Lyapunov Functions for the control of output-constrained nonlinear systems // *Automatica.* 2009. V. 45. No. 4. P. 918–927.
28. *Azimi V., Hutchinson S.* Exponential Control Lyapunov-Barrier Function Using a Filtering-Based Concurrent Learning Adaptive Approach // *IEEE Trans. on Automatic Control.* 2022. V. 67. No. 10. P. 5376–5383.
29. *Фуртат И.Б., Гуцин П.А., Нгуен Б.Х., Колесник Н.С.* Адаптивное управление с гарантией заданного качества регулирования // *Управление большими системами.* 2023. Т. 102. С. 44–57.

*Статья представлена к публикации членом редколлегии А.М. Красносельским.*

Поступила в редакцию 07.03.2023

После доработки 23.08.2023

Принята к публикации 04.09.2023